



تأثیر تزریق همزمان درونصفاقی هارمالین و PTZ بر مسیرهای سروتونرژیک و گاباژیک و آستانه تشنج در موش سوری نر نژاد NMRI

غلامحسن واعظی* و فاطمه نصیرزاده

دانشگاه آزاد اسلامی، واحد دامغان، گروه زیست‌شناسی، دامغان، ایران

نویسنده مسئول: gn_vaezi@yahoo.com

چکیده

صرع یکی از اختلالات عصبی مزمن در انسان می‌باشد. این بیماری در مجموع از روی حملات متناوب حرکتی، حسی، اتونومیک و یا روانی مشخص می‌گردد. در این بیماری عمل مغز دچار اختلال شده و با علایم مختلف، ناگهانی، زودگذر و عودکننده همراه است که معمولاً سطح هوشیاری دچار اختلال می‌شود. هدف از این مطالعه بررسی تداخل عمل ترزیق درونصفاقی هارمالین و PTZ بر آستانه تشنج و تأثیر آن بر مسیرهای سروتونرژیک و گاباژیک می‌باشد. آزمایش‌ها روی موش‌های سفید آزمایشگاهی نژاد NMRI از جنس نر با محدوده وزنی ۲۵ الی ۳۰ گرم انجام گرفت. در این مطالعه موش‌ها به پنج گروه هشت‌تایی گروه‌بندی شدند. دو گروه از موش‌ها به عنوان گروه‌های شاهد به تفکیک مورد تزریق درونصفاقی ۵mg/kg از داروی هارمالین و ۴۵ mg/kg از داروی PTZ قرار گرفتند. سه گروه از موش‌ها نیز به عنوان گروه‌های تیمار مورد تزریق همزمان ۴۵ mg/kg از PTZ و مقادیر ۲۰، ۱۰، ۵mg/kg از هارمالین قرار گرفتند. پس از تزریق دارو پاسخ‌های تشنجی به صورت مشاهده مستقیم و به مدت ۲۰ دقیقه ثبت شد. بعد از انجام آزمایشات اطلاعات بدست آمده با استفاده از آزمون‌های آماری Tukey و ANOVA آنالیز گردید. نتایج مطالعه نشان داد آستانه تشنج PTZ برابر با ۴۵mg/kg و آستانه تشنج هارمالین دوز ۵mg/kg بود. به طوری که در پیش آزمون استفاده از دوزهای پایین‌تر هیچگونه علائم لرزشی و تشنجی را نشان نداد. همچنین هارمالین به صورت وابسته به دوز و به طور معنی‌داری باعث کاهش آستانه تشنجات گردید. نتایج این مطالعه نشان داد تزریق درونصفاقی و همزمان هارمالین و PTZ باعث کاهش آستانه تشنجات شد و علائم تشنجی زودتر بروز پیدا کرد.

کلمات کلیدی: هارمالین، PTZ، آستانه تشنج، مسیرهای سروتونرژیک، مسیرهای گاباژیک، موش سوری

مقدمه

رفتاری پیچیده ناشی از قابلیت تحریک‌پذیری غیرطبیعی سلول‌های عصبی در نواحی مختلف مغز می‌باشد [۲۱]. در بیماری صرع یک ناحیه محدود مغزی و یا نواحی گستره‌ای از مغز، فعالیت خودبه-خودی نشان می‌دهند [۹]. بتاکربولین‌ها دسته‌ای از آکالوئیدها هستند که تحت بررسی‌های زیادی قرار گرفته‌اند [۳۱]. این آکالوئیدها شامل یک هسته ایندول

صرع یکی از شایع‌ترین بیماری‌های عصبی است [۳۳]، به طوری که بیش از ۵۰ میلیون نفر در دنیا به این بیماری مبتلا هستند [۳۹]. این بیماری یکی از قدیمی‌ترین بیماری‌هایی است که بشر آن را شناخته است [۱۶]. در واقع بیماری صرع یک اختلال عصبی



می‌شود [۳۷]. بتاکربولین‌ها از جمله هارمالین از طریق اتصال به آگونیست $GABA_A$ طیف وسیعی از اثرات مهاری بنزوپیازپین‌ها را ایجاد می‌کند، که مهم‌ترین آنها القاء اضطراب، تحریک CNS و تشنج می‌باشد [۱۴]. براساس گزارشات هارمالین نه تنها می‌تواند بر سیکل رفتاری ترس و اضطراب مؤثر باشد، بلکه قادر است لرزش‌های عضلانی را نیز تحریک کند [۲۲]، که در ایجاد این لرزش‌ها، مسیر زیتونی- مخچه‌ای و هسته زیتونی تحتانی مخچه و نوروترانسمیتر سروتونین دارای اهمیت زیادی است [۳۸]. پنتیلن تترازول (PTZ) از داروهای محرك مغز است که به عنوان یک ماده تشنج‌زا باعث ایجاد صرع عمومی در مدل‌های حیوانی می‌شود [۲۵]. آنانگونیست گیرنده گابا است که از طریق اشغال جایگاه پیکروتونکسین گیرنده گابا و مهار کانال کلرايد اثرات خود را ایفا کرده و باعث ایجاد تشنج می‌شود. اشغال جایگاه بنزوپیازپین نقش ناچیزی در اثرات آن دارد. تشنجات ایجاد شده به وسیله PTZ معمولاً به عنوان مدل تشنجات عمومی در جوندگان به کار برده می‌شوند [۲۰]. این مطالعه به منظور تعیین آستانه تشنج ناشی از تزریق هم‌زمان و تداخل عمل هارمالین و PTZ و تأثیر آن بر مسیرهای سروتونرژیک و گاباژیک انجام گرفته است.

آزاد اسلامی واحد دامغان با دمای 22 ± 2 درجه سانتی‌گراد و در شرایط ۱۲ ساعت روشنایی و ۱۲ ساعت تاریکی نگهداری شدند. آب و غذای استاندارد موش همیشه به جز در هنگام آزمایشات در اختیار

و یک حلقه پیرین می‌باشد [۱۵]. آلكالوئیدهای بتاکربولینی گیاه اسفند شامل هارمان، نورهاما، هارمالین، هارمالول و هارمالین می‌باشد [۲ و ۷]. به دنبال بررسی‌های گسترده داروشناسی، دسته وسیعی از گیرنده‌های سیستم عصبی مرکزی که بتاکربولین‌ها به آنها متصل می‌شوند، شناسایی شده‌اند [۱۵، ۳۲، ۳۴ و ۳۶]. این گیرنده‌ها شامل گیرنده‌هایی در مغز از جمله گیرنده ۵-هیدروکسی تریپتامین (۱۵) و گیرنده‌های ایمیدازولین [۳۶] که مهار کننده فعالیت آنزیم MAO_A هستند [۲۴] و بر نوروترانسمیترهای مغزی تأثیر می‌گذارند [۳۶]. بنابر این غلظت آهینه‌ای نظیر نوراپی نفرین، سروتونین و دوپامین در سینیاپس عصبی را افزایش می‌دهند [۵]. براساس گزارشات، هارمالین، آلكالوئید اصلی دانه‌ی گیاه اسفند (*Peganum harmala*) بوده که در دوزهای بالا باعث لرزش و تشنج کلونیک می‌گردد [۳۰] و در دوزهای کشنده باعث فلنج و کم‌کاری دستگاه تنفس فوقانی می‌شود [۷]. به علاوه مطالعات فارماکولوژیکی نشان داده است که هارمالین در دوزهای بالا باعث ایجاد رفتارهای هیجانی در موش می‌گردد [۱۹]. هارمالین یکی از بتاکربولین‌هایی است که باعث تغییرات در موتور حرکتی و فعالیتی سلول‌ها در هسته زیتونی تحتانی و در نهایت تخریب سلول‌های پورکنتر

مواد و روش کار

حیوانات آزمایشگاهی: در این تحقیق از موش‌های نر نژاد NMRI با وزن تقریبی ۲۵ الی ۳۰ گرم که از مؤسسه واکسن و سرم‌سازی حصارک کرج خریداری شده بودند استفاده شد. موش‌ها در حیوانخانه‌ی دانشگاه



تأثیر تزریق هم زمان درون صفاقی هارمالین...

مرحله صفر = عدم پاسخ
مرحله اول = انقباض های گوشی و صورتی به همراه لرزش های ملایم، نرم و خفیف
مرحله دوم = موج انقباضی بدن و لرزش های متوسط و متناوب در طول بدن
مرحله سوم = تشنج کل بدن و انقباضات میوکلونیک به همراه لرزش های مشخص
مرحله چهارم = تشنجات تونیک-کلونیک عمومی توأم با لرزش های شدید و افتادن به پهلو

تجزیه و تحلیل آماری: نتایج به دست آمده در این تحقیق با استفاده از آنالیز واریانس یک طرفه ANOVA و به دنبال آن آزمون Tukey مورد تجزیه و تحلیل آماری قرار گرفت، تفاوت با $p < 0.05$ ، $p < 0.01$ و $p < 0.001$ در هر نقطه از نظر آماری معنی دار تلقی شد.

نتایج

میانگین طول دوره تشنج مرحله اول مربوط به PTZ (۴۵mg/kg) برابر با ۲۸/۳۴ ثانیه و در مورد هارمالین (۵mg/kg) برابر با ۶۵/۱۶ ثانیه بدست آمد. این میانگین در رابطه با تزریق هم زمان PTZ (۴۵mg/kg) و هارمالین با دوزهای ۵، ۱۰، ۲۰ ترتیب (از چپ به راست) برابر با ۳۳/۸۳، ۱۷/۳۳، ۱۴/۶۷، ۱۴/۱۴ ثانیه به دست آمد. میانگین زمان شروع مرحله اول مربوط به PTZ برابر با ۲۳/۸۳ ثانیه و در مورد هارمالین (۵mg/kg) برابر با ۲۱۰/۱۷ ثانیه به دست آمد. این میانگین در رابطه با تزریق هم زمان PTZ (۴۵mg/kg) و هارمالین با دوزهای ۵، ۱۰، ۲۰ به ترتیب (از چپ به راست) برابر با

حیوانات قرار می گرفت و از هر حیوان نیز فقط یک بار استفاده شده است.

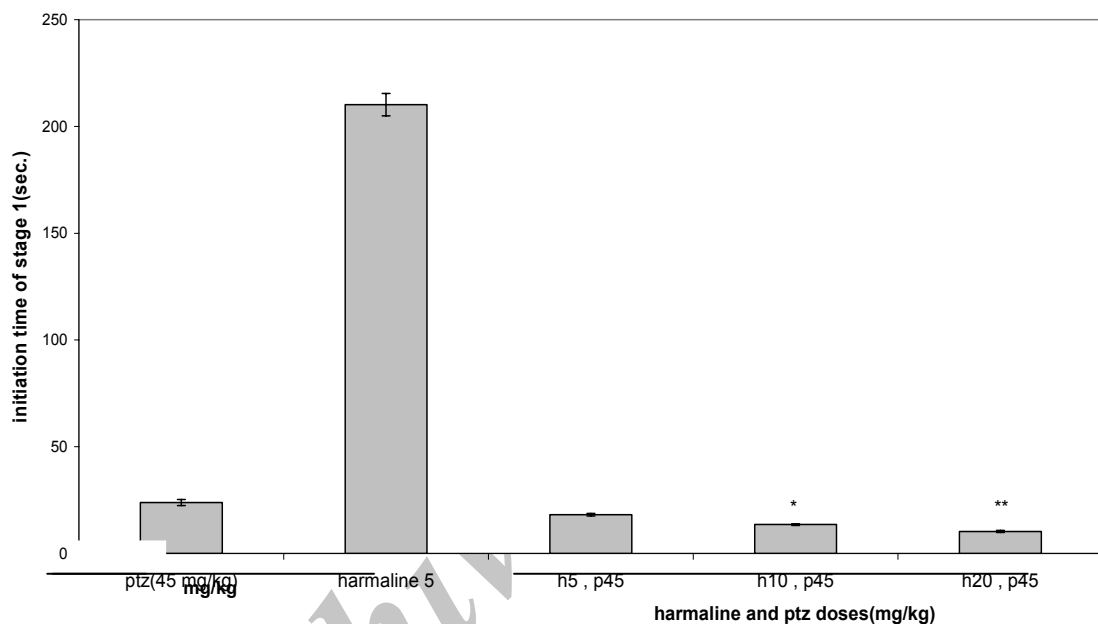
داروها: هارمالین هیدروکلراید و پتیلن تترازول (PTZ) از شرکت Sigma-Aldrich خریداری شدند. هر دو دارو در نرمال سالین ۰/۹٪ حل و به صورت داخل صفاقی تزریق گردید.

روش کار: حیوانات به پنج گروه هشت تایی تقسیم شدند. دو گروه از موش ها به عنوان گروه های شاهد به تفکیک مورد تزریق ۵mg/kg از داروی هارمالین و ۴۵mg/kg از داروی PTZ قرار گرفتند. سه گروه دیگر به عنوان گروه های تیمار مورد تزریق هم زمان PTZ با دوز ۴۵mg/kg و هارمالین با مقدار ۲۰، ۱۰، ۵ قرار گرفتند. در گروه شاهد برای پیدا کردن دوز مناسب آستانه تشنج PTZ چندین دوز در چند گروه از موش های سوری به صورت داخل صفاقی تزریق شد. این دوزها شامل ۳۰mg/kg، ۴۰، ۴۵ بود که نهایتاً دوز ۴۵mg/kg مناسب تشخیص داده شد و باعث القای تشنجات تونیک-کلونیک در این گروه شد. طبق تعریف آستانه تشنج PTZ عبارت از کمترین مقدار PTZ (بر حسب میلی گرم بر کیلو گرم وزن موش) است که جهت ایجاد تشنج تونیک-کلونیک مورد نیاز است [۲۷]. در مورد هارمالین نیز دوز ۵mg/kg به عنوان آستانه تشنج در نظر گرفته شد. به طوری که تزریق درون صفاقی دوز ۲/۵ mg/kg از داروی هارمالین باعث بروز تشنج نشد و هیچ گونه علامت تشنجی و لرزشی در این دوز مشاهده نشد. پس از تزریق داروها رفتارهای حیوان برای مدت ۲۰ دقیقه تحت نظر گرفته شد و پاسخ های تشنجی حیوان به شکل زیر طبقه بندی شد:



در مقایسه با گروه کنترل مثبت کاهش داد ولی این کاهش از نظر آماری معنی دار نبود.

۱۰/۳۳، ۱۳/۵۰، ۱۸/۱۷ ثانیه به دست آمد. تزریق درون صفاقی و هم‌زمان 45mg/kg از PTZ به همراه 5 mg/kg از هارمالین زمان آغاز مرحله اول تشنج را



نمودار شماره ۱- مقایسه میانگین \pm انحراف از خطای معیار زمان شروع مرحله اول تشنج ناشی از تزریق هم‌زمان مقادیر $5, 10, 20\text{mg/kg}$ از هارمالین و 45mg/kg از PTZ با گروه‌های دریافت کننده PTZ و هارمالین به طور جداگانه (گروه‌های شاهد) $**p<0.01$, $*p<0.05$

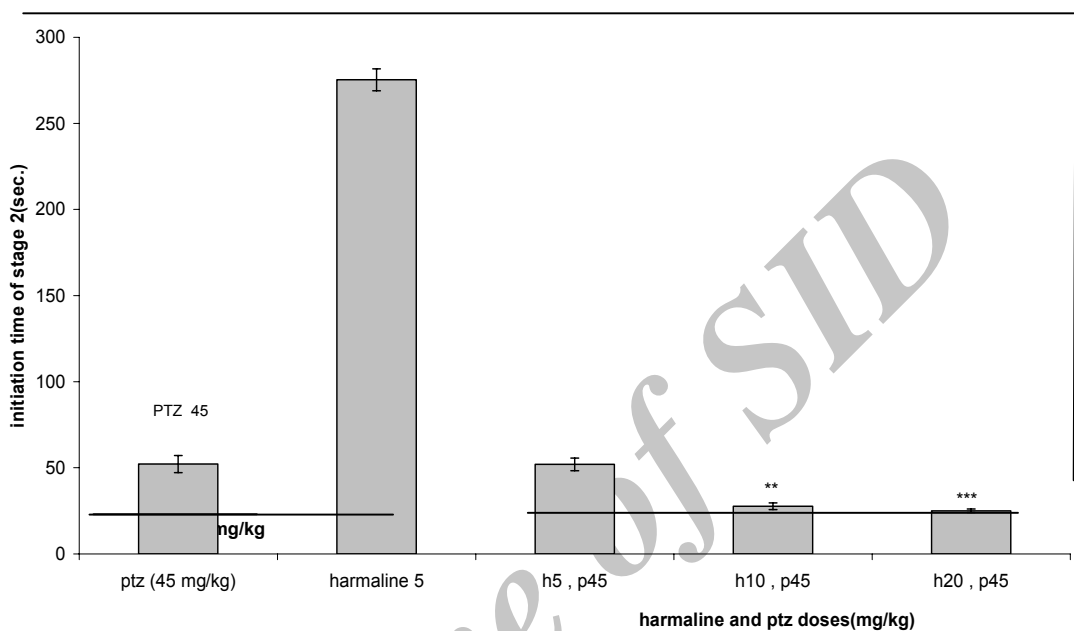
میانگین زمان شروع مرحله دوم مربوط به PTZ برابر با $52/17$ ثانیه و در مورد هارمالین (5mg/kg) برابر با $275/33$ ثانیه به دست آمد. این میانگین در رابطه با تزریق هم‌زمان (45mg/kg) PTZ و هارمالین با دوزهای $5, 10, 20$ به ترتیب (از چپ به راست) $25, 27/67$ ، $52, 27/67$ ثانیه به دست آمد. تزریق درون صفاقی و هم‌زمان 45mg/kg از PTZ و 5 mg/kg از هارمالین

میانگین طول دوره تشنج مرحله دوم مربوط به $(45\text{mg/kg})PTZ$ برابر با 55 ثانیه و در مورد هارمالین (5mg/kg) برابر با $97/67$ ثانیه به دست آمد. این میانگین در رابطه با تزریق هم‌زمان (45mg/kg) PTZ و هارمالین با دوزهای $5, 10, 20$ به $29/5, 40/83, 25/83$ ثانیه به ترتیب (از چپ به راست) برابر با $5, 10, 20$ ثانیه به دست آمد.



تأثیر تزریق هم زمان درون صفاقی هارمالین...

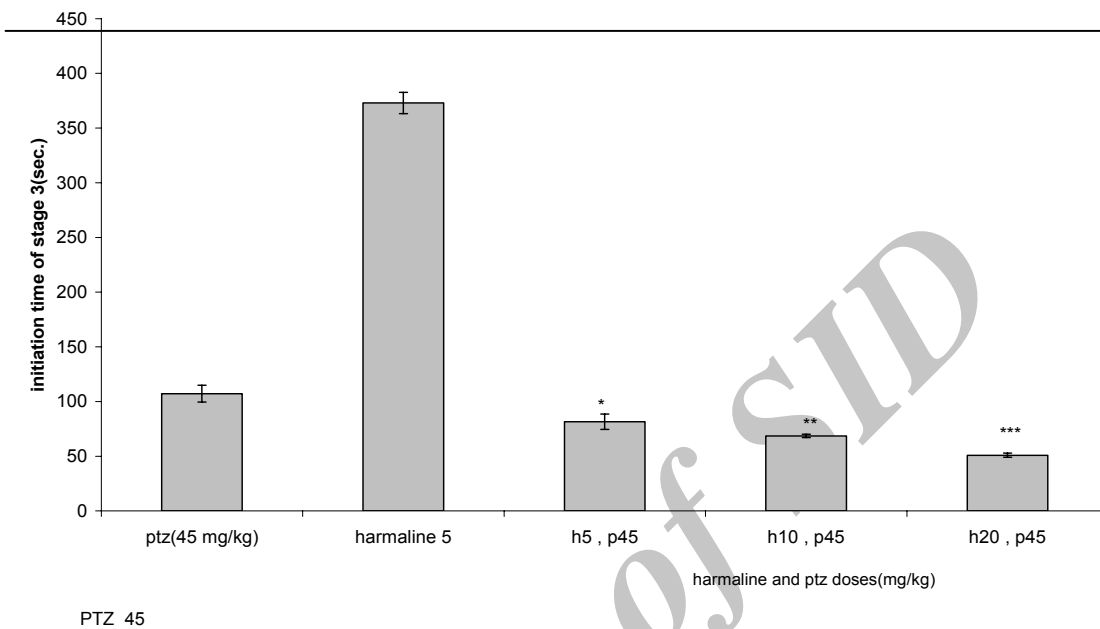
زمان آغاز مرحله دوم تشننج را در مقایسه با دو گروه شاهد کاهش داد ولی این کاهش از نظر آماری معنی دار نبود.



نمودار شماره ۲ - مقایسه میانگین \pm انحراف از خطای معیار زمان شروع مرحله دوم تشننج ناشی از تزریق هم زمان مقادیر ۵, ۱۰, ۲۰ mg/kg/ip از هارمالین و PTZ از PTZ با گروه های دریافت کننده PTZ و هارمالین به طور جداگانه (گروه های شاهد) ***p<0.001 و **p<0.01.

میانگین زمان شروع مرحله سوم مربوط به PTZ برابر با ۱۰۷/۱۷ ثانیه و در مورد هارمالین (۵mg/kg) برابر با ۳۷۳ ثانیه به دست آمد. این میانگین در رابطه با تزریق هم زمان PTZ (۴۵mg/kg) و هارمالین با دوز های ۵, ۱۰, ۲۰ به ترتیب (از چپ به راست) ۵۰/۸۳, ۶۸/۵۰, ۸۱/۵۰ ثانیه به دست آمد.

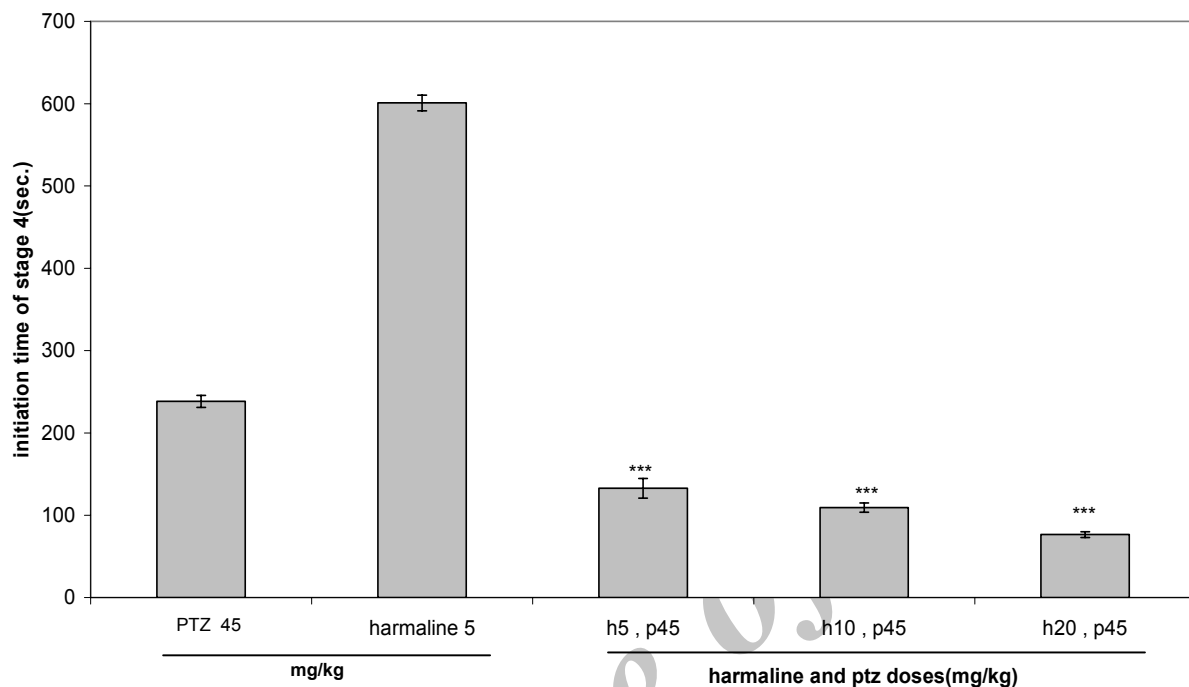
میانگین طول دوره تشننج مرحله سوم مربوط به PTZ (۴۵mg/kg) برابر با ۱۳۱/۱۶ ثانیه و در مورد هارمالین (۵mg/kg) برابر با ۲۲۷/۸۳ ثانیه به دست آمد. این میانگین در رابطه با تزریق هم زمان PTZ (۴۵mg/kg) و هارمالین با دوز های ۵, ۱۰, ۲۰ به ترتیب (از چپ به راست) برابر با ۵۱/۳۳, ۴۰/۶۷, ۲۵/۶۷ ثانیه به دست آمد.



نمودار شماره ۳ مقایسه میانگین \pm انحراف از خطی معیار زمان شروع مرحله سوم تشنج ناشی از تزریق همزمان مقداری PTZ با گروههای دریافت‌کننده ۴۵mg/kg و هارمالین به طور جداگانه (گروههای شاهد) $5, 10, 20\text{mg/kg}$ *** $p<0.001$ و ** $p<0.01$, * $p<0.05$

میانگین در رابطه با تزریق همزمان PTZ (۴۵mg/kg) و هارمالین با دوزهای ۵, ۱۰, ۲۰ به ترتیب (از چپ به راست) ۱۳۲/۸۳, ۱۰۹/۱۷, ۷۶/۵۰ ثانیه به دست آمد.

میانگین زمان شروع مرحله چهارم مربوط به PTZ برابر با ۲۳۸/۳۳ ثانیه و در مورد هارمالین (۵mg/kg) برابر با ۶۰۰/۸۳ ثانیه به دست آمد. این



نمودار شماره ۴- مقایسه میانگین \pm انحراف از خطی معیار زمان شروع مرحله چهارم تشنج ناشی از تزریق هم‌زمان مقادیر ۵, ۱۰, ۲۰ mg/kg از هارمالین و ۴۵ mg/kg PTZ با گروه‌های دریافت کننده PTZ و هارمالین به طور جدأگانه *** $p<0.001$

نتیجه حاصل شد که هارمالین به صورت وابسته به دوز و به طور معنی‌داری باعث کاهش آستانه تشنج می‌شود.

بحث

هدف از این مطالعه بررسی تداخل عمل تزریق درون‌صفاقی هارمالین و PTZ بر آستانه تشنج و تأثیر آن بر مسیرهای سرتونرژیک و گاباژیک می‌باشد. نتایج به دست آمده در این تحقیق نشان می‌دهد که آستانه تشنج در موش‌های سوری دریافت کننده هارمالین مقدار ۵ mg/kg می‌باشد. به طوری‌که تزریق دوز

نتایج این تحقیق نشان می‌دهد که آستانه تشنج به دست آمده در موش‌های سوری دریافت کننده PTZ برابر با ۴۵ mg/kg می‌باشد. همچنین آستانه تشنج به دست آمده از تزریق درون‌صفاقی هارمالین مقدار ۵ mg/kg بود. تزریق درون‌صفاقی و هم‌زمان PTZ و هارمالین آستانه تشنج را نسبت به گروه کنترل مثبت کاهش داد. در واقع تداخل عمل این دو دارو باعث شروع زودتر تشنجات و کاهش آستانه تشنج گردید. همچنین علائم لرزشی و تشنجی با شدت بیشتری بروز پیدا کرد. در گروه‌های تیمار با توجه به ثابت بودن دوز PTZ این



PTZ تزریق شده ثابت است (45 mg/kg) و هارمالین با دوزهای مختلفی ($5, 10, 20\text{ mg/kg}$) تزریق می‌شود، می‌توان چنین نتیجه‌گیری کرد که هارمالین به صورت وابسته به دوز و به طور معنی‌داری باعث کاهش آستانه تشنج گردید. به بیان دیگر با افزایش دوز دارو اثرات لرزشی و تشنجی آن هم افزایش می‌یابد و تشنج سریع‌تر آغاز شده، آستانه تشنج کاهش می‌یابد. همچنین تزریق درون‌صفاقی (45 mg/kg) به طور همزمان با مقدار 5 mg/kg از هارمالین زمان آغاز مرحله اول و دوم تشنج را در مقایسه با گروه کنترل مثبت کاهش داد ولی این کاهش از نظر آماری معنی دار نبود. مشاهدات این پژوهش نشان داد شدت فعالیت تشنجی هارمالین کمتر از PTZ می‌باشد، همچنین علائم تشنجی ناشی از تزریق درون‌صفاقی هارمالین خفیفتر از PTZ می‌باشد. به بیان دیگر علائم تشنجی هارمالین بیشتر به صورت لرزش یا رعشه (tremor) نمایان می‌شود که تحقیقات انجام گرفته در این زمینه نیز این مسئله را تأیید می‌کند. لرزش یک فعالیت بیش از حد عصبی و قابل توجه در نقاط مشخصی از مغز است که ارتباط نزدیکی با متابولیسم بالای گلوکر دارد [۱۰ و ۱۷]. مطالعات حیوانی ثابت کرده که شلیک نورون‌ها و متابولیسم گلوکر در مخچه و هسته زیتونی تحتانی هنگام لرزش ناشی از هارمالین افزایش می‌یابد [۱۷ و ۱۸]. به دنبال انجام تحقیقی مشخص شده که هارمالین یک لرزش کلی با فرکانس $6-12\text{ HZ}$ را در بسیاری از گونه‌های پستانداران از جمله موش‌ها تولید می‌کند، که این تأثیرات به عملکرد هارمالین در مسیر زیتونی - مخچه- ای مربوط می‌شود [۲۸]. تحقیقات الکتروفیزیولوژیک

۲/۵ از هارمالین باعث بروز تشنج در حیوانات نشد و هیچ‌گونه علامت لرزشی و تشنجی مشاهده نگردید. همچنین آستانه تشنج ناشی از تزریق درون صفاقی PTZ مقدار 45 mg/kg بود، به طوری که تزریق مقدادی 40 mg/kg و 35 mg/kg از داروی PTZ باعث ایجاد هیچ‌گونه علائم تشنجی در موش‌های دریافت کننده دارو نشد. در این پژوهش نشان داده شد که تزریق درون صفاقی و همزمان PTZ و هارمالین باعث کاهش آستانه تشنج گردید. بنابراین تداخل عمل این دو دارو بر آستانه تشنج نه تنها اثر کاهشی یا خشی- کننده نداشت، بلکه دارای اثری افزایشی در بروز تشنج بوده و آستانه تشنج را کاهش داد. تحقیقات نشان می- دهد PTZ یک داروی تشنج‌زا و محرك مغز است، همچنین در مقالات متعدد دیگر از هارمالین به عنوان یک داروی هالوسینوژنیک با اثرات لرزشی نام برده شده، بر این اساس هنگامی که این دو دارو به صورت همزمان تزریق شدند نه تنها اثر تشنجی یکدیگر را خشی نکرده بلکه باعث شروع سریع‌تر تشنج با علائم تشنجی شدیدتر شدند. به نحوی که علائم و اسکورهای تشنجی و لرزشی مختص به هر یک از این داروها نیز به گونه‌ای تداخل پیدا کرده و حیوانات دچار تشنج و لرزش‌های شدیدتر گردیدند و نشانه‌های لرزشی و تشنجی مخصوص به هر یک از داروها را توأم با هم نشان دادند. مقایسه آماری تزریق همزمان مقدادی مختلف هارمالین ($5, 10, 20\text{ mg/kg}$) و 45 mg/kg) با گروه‌های شاهد از نظر زمان شروع و طول مدت تشنج نشان داد که در گروه‌های تیمار، آستانه تشنج به طور معنی‌داری کاهش پیدا کرد و تشنج سریع‌تر آغاز شد. از آنجا که در گروه‌های تیمار مقدار



این آلکالوئید مربوط به دخالت این گیرندها می‌باشد. لذا PTZ و هارمالین از طریق تأثیر بر عملکرد گیرنده‌های بنزودیازپینی، همچنین گیرنده گابا و سیستم گاباگذاری باعث ایجاد تشنج می‌گردد، که در این پژوهش تزریق توأم و همزمان این دو دارو باعث اختلال بیشتر در این مکانیسم‌های مهاری شده و تشنج زودتر آغاز می‌شود. در واقع اختلال در مکانیسم‌های مهاری مدت طولانی است که به عنوان توجیهی برای آغاز حملات صرعی شناخته شده است [۲۳]. همچنین تحقیقات نشان می‌دهند که هارمالین و PTZ با اثر بر ویژگیهای بیوالکتریک سلول و جریان‌های یونی رو به داخل و رو به خارج غشاء سلول موجب افزایش تحریک‌پذیری آن و بروز تشنج می‌شوند. در طول تشنج القاء شده با PTZ غلظت یون‌های کلسیم داخل‌سلولی افزایش و بر عکس کلسیم خارج سلولی کاهش می‌یابد [۲۹]. هارمالین نیز هدایت کلسیم را به نورون‌های هسته زیتونی تحتانی افزایش می‌دهد که افزایش کلسیم درون‌سلولی نقش مهمی در ایجاد تشنجات بازی می‌کند [۲۶]. کانال‌های کلسیمی از طریق تنظیم آزادسازی نوروترانسیمپترها می‌توانند در ایجاد یا کنترل تشنج نقش داشته باشند [۳]. از سوی دیگر برخی محققین نقش کانال‌های پتاسیمی را در صرع زایی مورد بحث قرار داده‌اند. Feher و همکارانش نشان دادند که جریان‌های رو به خارج پتاسیمی توسط PTZ تضعیف می‌شوند. به این ترتیب به نظر می‌رسد که کاهش جریان پتاسیمی و خروج کمتر یون‌های مثبت از سلول آن را تحریک‌پذیرتر نموده و برای فعالیت صرعی مستعد می‌نماید [۱۳]. همچنین PTZ فعالیت انفجاری نورون‌ها را به واسطه تغییر در هدایت یونی کانال‌های

نشان داده که سروتونین مسیر زیتونی- مخچه‌ای و آوران‌های سروتونرژیک در هسته زیتونی تحتانی اهمیت زیادی در ایجاد لرزش توسط هارمالین دارند [۳۵]. مطالعات بیان‌گر آن است که فعالیت گیرنده‌های سروتونین قادر به تأثیرگذاری بر هسته رافه می‌باشد که بعضی از فعالیت‌های حرکتی حیوان را در رابطه با بروز رفتار لرزش و رعشه تحت تأثیر قرارداده است. سیستم سروتونرژیک از طریق هسته رافه بخش خلفی مغز از جمله مخچه را عصب دهی کرده و بر روی فعالیت‌های حرکتی تأثیر می‌گذارد [۶]. نقش قطعی سروتونین در آسیب‌شناسی لرزش توسط محققین متعددی پیشنهاد شده است [۱۱]. گیرنده‌های NMDA نیز در بروز حملات تشنجی دخالت دارند، مطالعات نشان داده که هارمالین گیرنده NMDA و مسیر گلوتامات ارزیک را در هسته زیتونی تحتانی و قشر مخچه فعال می‌کند، به طوری که مهار این گیرنده، لرزش ناشی از هارمالین را کاهش می‌دهد [۱۲].

پژوهش‌های صورت گرفته نشان می‌دهد که PTZ یک داروی تشنج‌زا می‌باشد که آنتاگونیست گابا بوده و با اتصال به جایگاه پیکروتوکسین گیرنده گابا و از طریق مهار کanal کلراید اثرات خود را ایفا و باعث بروز تشنج می‌گردد و اشغال جایگاه بنزودیازپین نقش ناچیزی در اثرات آن دارد [۲۰]. هارمالین نیز از طریق اتصال به جایگاه گیرنده GABA_A طیف وسیعی از اثرات آنتاگونیستی بر علیه بنزودیازپینها ایجاد می‌کند که مهم‌ترین آنها شامل القاء اضطراب، تحریک سیستم اعصاب مرکزی و تشنج می‌باشد [۱۴]. در واقع هارمالین به صورت آنتاگونیست به گیرنده‌های بنزودیازپینی متصل می‌شود و بخشی از اثرات تشنجی



سروتونرژیک و گابالرژیک باعث ایجاد تشنج می‌شود و مکانیسم صرع زایی PTZ عمدهاً از طریق تأثیر بر سیستم گابالرژیک و مهار گیرنده گابا صورت می‌گیرد. تزریق هم‌مان و تداخل عمل هارمالین و PTZ در این تحقیق باعث افزایش اثر تحریکی سیستم‌های سروتوونرژیک در بروز تشنج و همچنین اختلال بیشتر در عملکرد مهاری سیستم گابالرژیک و گیرنده‌های گابا گردید، که مهار هرچه بیشتر این گیرنده‌ها روند تشنج‌زایی را تسهیل می‌کند. در نهایت می‌توان چنین نتیجه‌گیری نمود که اثر تحریکی مسیرهای سروتوونرژیک در ایجاد تشنج به همراه اختلال در اثر مهاری مسیرهای گابالرژیک باعث تشدید مکانیسم‌های صرع‌زایی شده و آستانه تشنج کاهش می‌یابد.

سدیم تسهیل می‌کند، لذا آستانه تحریک نورون‌ها کاهش یافته و باعث دپولا‌ریزاسیون و بروز تشنج می‌شود [۱]. از طرفی تحقیقات گذشته نشان داده که هارمالین نیز از طریق راه اندازی پتانسیل فعال سدیم باعث افزایش شلیک ریتمیک نورون‌های زیتونی تحتانی می‌گردد [۸]. با مرور نظر قراردادن موارد ذکر شده در بالا می‌توان چنین نتیجه‌گیری نمود که در این تحقیق تزریق هارمالین همراه با PTZ باعث افزایش اثر بر روی جریان‌های یونی مؤثر در ایجاد صرع شده، تشنج زودتر آغاز و آستانه تشنج کاهش می‌یابد. یافته‌های این پژوهش نشان داد که تداخل عمل تزریق درون‌صفاقی هارمالین و PTZ بر مسیرهای سروتوونرژیک و گابالرژیک تأثیرگذار می‌باشد. براساس نتایج هارمالین از طریق تأثیر بر مسیرهای

۴- فرزین، د.، سلیمی، ا؛ بررسی اثرهارمان، نورهارمان و هارمین بر رفتار نوک زدن القاء شده توسط آپومرفین در جوجه، مجله دانشگاه علوم پزشکی مازندران، خرداد و تیر ۱۳۸۸، دوره نوزدهم، شماره ۷۰، ص ۱-۸.
۵- فرزین، د.، منصوری، ن. ۱۳۸۳. مقایسه اثرات ضد افسردگی هارمان، نورهارمان و هارمین در موش آزمایشگاهی. مجله علمی دانشگاه علوم پزشکی گرگان، پاییز و زمستان ۸۳، سال ششم، شماره ۱۴، ص ۹-۱.

۶- واعظی، غ.، عریان، ش، فریدونی، م، اعتمادی، ل، منافی، ف. ۱۳۸۶. اثر استنشاقی آکالوئیدهای عصره الكلی دانه اسفند بر بروز رفتار ترس در موش صحرایی MAZE بالغ نر با استفاده از مدل رفتاری ELEVATED PLUS

منابع

- ۱- شمینی، م.، شفارودی، ح، الله دینی، س. ۱۳۸۴. اثر لیندان بر آستانه تشنجات کلونیک ناشی از پتیلن تترازول در موش‌های سوری. مجله دانشکده پزشکی دانشگاه تهران، سال ۶۳، شماره ۷، صفحات ۵۲۹-۵۳۷
- ۲- حاجی‌آخوندی، ع. ۱۳۶۶. استخراج آکالوئیدهای پگانوم هارمالا و بررسی اثرات ضد باکتریایی پیلوریا. پایان نامه دوره دکتری داروسازی، تهران: دانشکده داروسازی تهران.
- ۳- حافظیه، ک. ۱۳۷۴. درمان دارویی تشنج‌ها، بررسی مکانیسم اثر داروها، تداخل دارویی و عوارض آنها. پایان نامه کارشناسی ارشد، تهران: دانشگاه علوم پزشکی ایران.



- 13- Feher O, Erdelyi L, Papp A. (1988), The effect of pentylenetetrazol on the metacerebral neuron of *Helix pomatia*. *Gen Physiol Biophys*, 7: 505-516.
- 14- Fuentes JA, Longo VG. An investigation on the central effects of harmine and related beya-carbolines. *Neuropharmacology*, 1971; 10: 15-23.
- 15- Glennon RA, Dukat M, Grella B, Hong SS, Costantino L, Teitler M, Smith C, Egan C, Davis K, Mattson MV. (2000), Binding of beta-carbolines and related agents at serotonin (5-HT(2) and 5-HT(1A)), dopamine (D(2)) and benzodiazepine receptors. *Drug and Alcohol Dependence* 60(2): 121-132.
- 16- Gorji A, Ghadiri KM, (2001), History of epilepsy in medieval Iranian medicine. *Neurosci Biobehav Rev*, 25: 455-61.
- 17- Hallet M, Dubinsky RM. (1993), Glucose metabolism in the brain of patients with essential tremor. *J Neurol Sci*, 114: 45-8.
- 18- Headley PM, Lodge D, Duggan AW. (1976), Drug induced rhythmical activity in the inferior olivary complex of the rat. *Brain Res*, 101: 271-86.
- 19- Hillber PC, Hapillon P. (2005), Effect of harmaline on anxiety related behavior in mice. *J: Physiol-Behave*, 86(1-2): 164-167.
- 20- Huang RQ, Bell-Horner CL, Dibas MI, Covey DF, Drewe JA, Dillon GH. (2001), Pentylenetetrazole-induced inhibition or recombinant gamma -
- 7- Brown D. (1995), *Encyclopedia of Herbs and Their Uses*. New York: DK Publishing, Inc, 265 pp.
- 8- Catterall WA. (1987), Common modes of drug action of Na channels: Local anaesthetics, antiarrhythmic and anticonvulsants. *Trends Pharmacol Sci*, 8:57-65
- 9- Cavalheiro EA, Leite JP, Bortolotto ZA, Turski WA, Ikonomidou C, Turski L. (1991), Long term effects of pilocarpine in rats: structural damage of the brain triggers kindling and spontaneous recurrent seizures. *Epilepsia*, 32(6):778-82.
- 10- Colebatch JG, Findley LJ, Frackwiall RSJ, Marsden CD, Brooks DJ. (1990), Preliminary report: activation of the cerebellum in essential tremor. *Lancet*, 336:1028-30.
- 11- Du W, Harvey JA. (1977), Harmaline-induced tremor and impairment of learning are both blocked by dizocilpine in the rabbit. *Brain Res*, 745: 183-8.
- 12- Eblen F, Loschmann PA, Wullner V, Terski L, Klockgether T. (1996), Effect of 7-nitroindazol, NG nitro-L-arginine on harmaline induced postural tremor, N-methyl-D-aspartat-induced seizure and lisuride-induced rotations in rats with nigral 6-hydroxydopamine lesions. *Eur. J. Pharmacol*, 299: 9-16.



- technical, biological and pharmacological factors in the laboratory evalution of anticonvulsant drugs. III. Pentylenetetrazol seizure models. *Epilepsy Res.*, 8: 171-189.
- 28- Lutes J, Lorden JF, Beales M, Oltmans GA. (1988), Tolerance to the tremorogenic effects of harmaline: evidence for altered olivocerebellar function. *Neuropharmacology*, 27: 849-55.
- 29- Meyer FB, Anderson RE, Sundt TM. Jr.(1990), Anticonvulsant effects of dihydropyridine Ca antagonists in electrocortical shock seizure. *Epilepsia*, 31: 68-74.
- 30- Muhi-eldeen Z, Al Shamma KJ, Al Hussainy TM, Al Kaissi EN, Al Daraji AM, Ibrahim H. (2008), Acute Toxicological Studies on the Extract of Iraqi *Peganum Harmala* in Rats. *European journal of Scientific Research*, 22: 494-500.
- 31- Pfau W, Skog K. (2004), Exposure to β -carbolines norharman and harman. *Journal of Chromatography B, Analytical Technologies in the Biomedical and Life Sciences*, 802(1); 115-126.
- 32- Pimpinella G, Palmery M. (1995), Interaction of β -carbolines with central dopaminergic transmission in mice: structure activity relationships. *Neuroscience Letters*, 189(2): 121-124.
- 33- Rogawski MA. (2000), KCNQ2/KCNQ3 K channels and the molecular pathogenesis of epilepsy: aminobutyric acids type A receptors: mechanism and site of action. *J.Pharmacol Exp. Ther.*, 298: 986-995.
- 21- Kandel ER, Schwartz JH, Jessell TM. (2000), Principle of neural science. In: Westbrook GL. *Seizures and epilepsy* USA: MacGra-Hill, 910-1034.
- 22- Kartal M, Altum ML, Kurucu S. (2003), HPIC method for the analysis of harmol, harmolol, harmine and harmaline in the seeds of *Peganum harmala*. *L. Pharmaceut. Biomed. Analysis*, 2: 263-269.
- 23- Kiliam M, Freg HH. (1973), Central monoamines and convulsive threshold in mice and rats. *Neuropharmacology*, 12: 681-692.
- 24- Kim H, Sablin SO, Ramsay RR. (1997), Inhibition of monoamine oxidase A by β -carboline derivates. *Archives of Biochemistry and Biophysics*, 337(1): 137-142.
- 25- Kondziella D, Hammer J, Sletvold O, Sonnewald U. The pentylenetetrazol-kindling model of epilepsy in SAMP8 mice: glialneuronal metabolic interactions. *Neurochem.Int*, 2003; 43: 629-637.
- 26- Llinas R. (1991), The non continuous nature of movement execution.In: Humphrey DR, Freund HJ, eds. *Motor control:Concepts and issues*. Chichester, UK: Wiley, 223-224.
- 27- Loscher W, Honack D, Fassbender CP, Nolting B. (1991), The role of



implications for therapy. TINS, 23: 393-8.

34- Rommelspacher H, May T, Salewski B. Harman(1-methyl-bete-carboline) is a natural inhibitor of monoamine oxidase type A in rats. European Journal of Pharmacology, 1994; 252(1): 51-59.

35- Sjolund B, Bjorklund A, Wiklund L. (1977), The indolaminergic innervation of the inferior olive. 2. Relation to harmaline-induced tremor. Brain Res, 131: 23-37.

36- Squires EP, Hills CE, Rogers GJ, Garland P, Farley SR, Morgan NG. (2004), The putative imidazoline receptor agonist, harmane, promotes intracellular calcium mobilization in pancreatic bete-cells. European Journal of Pharmacology, 501(1-3):31-39.

37- Takahashi H. (2000). Fear-Induced Hallucination: Howsleep Paralysis Triggers Hallucination. J: Biology, 227: 169-122.

38- Welsh JP, Placantonakis DG, Wavsetsky SI, Marquez RG, Bernstein L, Archer SA. (2002), The serotonin hypothesis of myoclonus from the perspective of neuronal rhythmicity. Adv. Neurol., 89: 307-29.

39- White HS. (1999), Comparative anticonvulsant and mechanistic profile of the established and newer antiepileptic drugs. Epilepsia, 40(Suppl. 5): S2-10.